

1023803



Europäisches Patentamt
European Patent Office
Office européen des brevets

⑯

⑯ Veröffentlichungsnummer:

X 1,4,6,7,8
0168 510
A1

⑯

EUROPÄISCHE PATENTANMELDUNG

⑯ Anmeldenummer: 84108325.6
⑯ Anmeldetag: 16.07.84

⑯ Int. Cl. 4: G 03 F 1/00

⑯ Veröffentlichungstag der Anmeldung: 22.01.86
Patentblatt 86/4

⑯ Anmelder: IBM DEUTSCHLAND GMBH,
Pascalstrasse 100, D-7000 Stuttgart 80 (DE)
⑯ Benannte Vertragsstaaten: DE

⑯ Anmelder: International Business Machines
Corporation, Old Orchard Road, Armonk, N.Y. 10504 (US)
⑯ Benannte Vertragsstaaten: FR GB

⑯ Erfinder: Behringer, U., Dr. Dipl.-Phys.,
Wolfsbergstrasse 27, D-7403 Ammerbuch 4 (DE)
Erfinder: Bohlen, H., Dipl.-Phys., Hohenzollernring 46,
D-7403 Ammerbuch (DE)
Erfinder: Vettiger, P., Dipl.-Ing., Langmoosstrasse 33,
CH-81365 Langnau/a. A. (CH)
Erfinder: Zapka, W., Dr. Dipl.-Phys., Ritterstrasse 29,
D-7031 Gärtringen-Rohrau (DE)

⑯ Benannte Vertragsstaaten: DE FR GB

⑯ Vertreter: Kreidler, Eva-Maria, Dr. rer. nat., Schönalcher
Strasse 220, D-7030 Böblingen (DE)

54 Verfahren zur Reparatur von Transmissionsmasken.

57 Das Verfahren gemäß der Erfindung betrifft das Reparieren von Transmissionsmasken für die Röntgenstrahl-, Elektronenstrahl- bzw. Ionenstrahlolithographie. Hierzu wird in einem Vakuumsystem ein fein fokussierter Elektronenstrahl zeilenweise über eine unerwünschte Maskenöffnung oder am Rand der Maskenöffnung entlang geführt, um die Öffnung durch die dem Strahl folgenden Kontaminationsstreifen vollständig zu verschließen oder um die Form der Maskenöffnung zu korrigieren. Unter Einwirkung des Elektronenstrahls erfolgt eine Polymerisation von Monomermolekülen, die aus dem Diffusionspumpenöl stammen oder im Bereich der Maske zudosiert werden. Das Polymergerüst kann nach dem Auffüllen der unerwünschten Maskenöffnung mit einem leitenden Material von der Rückseite der Maske her wieder entfernt werden. Anschließend wird eine Goldschicht auf die Vorder- und Rückseite der Maske aufgebracht.

EP 0168 510 A1

Verfahren zur Reparatur von Transmissionsmasken

Die Erfindung betrifft ein Verfahren zum Reparieren von Transmissionsmasken für die Röntgenstrahl-, Elektronenstrahl- bzw. Ionenstrahllithographie.

5 Der in der VLSI-Halbleitertechnologie anhaltende Trend zur Reduzierung der Schaltkreisdimensionen macht Lithographieverfahren und Belichtungssysteme erforderlich, die das Drucken von Mustern mit Dimensionen im Submikrometerbereich gestatten. Mit den bisher verwendeten

10 lichtoptischen Belichtungssystemen können diese Muster mit den gewünschten Submikrometerdimensionen wegen der geringen Fokussierungstiefe und der Streuung des Lichts an den Kanten der Masken nicht mehr hergestellt werden. Es ist deshalb erforderlich, zu Verfahren überzugehen,

15 bei denen nichtoptische Strahlungsarten mit viel kürzeren Wellenlängen als die in lichtoptischen Systemen eingesetzten verwendet werden. Als nichtoptische Strahlung werden derzeit Röntgenstrahlen, Elektronenstrahlen oder Ionenstrahlen eingesetzt.

20 Für die Belichtung mit Röntgenstrahlen, Elektronen- oder Ionenstrahlen müssen Transmissionsmasken mit Submikrometerstrukturen und einer hohen geometrischen Präzision, die für das Übereinanderdrucken erforderlich

25 ist, hergestellt werden. Die Masken für Elektronen- und Ionenstrahllithographie sind, im Gegensatz zu Masken für optische Belichtung, die aus Chromstrukturen auf Glassubstraten aufgebaut sind, aus dünnen Folien oder Membranen aus Silicium oder Siliciumnitrid aufgebaut

30 und weisen in den transparenten Bereichen physikalische Löcher für den Durchlaß der Strahlung auf. Ihre Herstellung erfolgt in photolithographischen Prozessen, gefolgt von isotropen und streng anisotropen Ätz-

prozessen. Während des Herstellungsprozesses kann es dazu kommen, daß durch Staubteilchen oder noch viel häufiger durch eine Lochbildung in dem zu belichtenden Photoresist zusätzliche, unerwünschte Löcher auftreten.

5 Außerdem können durch Gitterfehler, die während der Bordotierung des Wafers, aus dem die Maske hergestellt wird, auftreten, beim selektiven Ätzprozeß zusätzliche Defektlöcher entstehen. Diese Defektlöcher sind unerwünscht, weil sie während des Herstellungsprozesses für

10 die Transmissionsmaske wie die gewünschten Strukturen eingeätzt werden und damit die Maskenstrukturen verfälschen. Selbst bei besten Reinraumbedingungen kann das Auftreten dieser zusätzlichen Löcher nie ganz verhindert werden. Deshalb wurden Verfahren entwickelt, um

15 Transmissionsmasken zu reparieren.

Das in der lichtoptischen Lithographie verwendete Maskenreparaturverfahren, bei dem mit Hilfe eines Laserstrahls der Chromüberschuß an Maskenstrukturen weggenommen wird, bzw. Defektlöcher durch Aufpinseln von Photoresist per Hand geschlossen werden, kann zur Reparatur der betrachteten Transmissionsmasken nicht verwendet werden, weil die Reparatur nicht wie bei lichtoptischen Masken an Vorlagen mit zehnfacher Vergrößerung, sondern an Transmissionsmasken, die alle Strukturen im Maßstab 1:1 enthalten, vorgenommen wird, wobei die Strukturen oft kleiner als 0,5 µm ausfallen.

Es wurde bereits ein Verfahren zur Reparatur fehlerhafter Transmissionsmasken vorgeschlagen, bei dem auf die Oberseite der fehlerhaften Maske eine Photoresistschicht aufgetragen und alle Maskenlöcher, einschließlich der fehlerhaften, geschlossen werden. Anschließend wird die Photoresistschicht durch eine Transmissionsmaske, deren Struktur identisch mit der Struktur der zu

reparierenden Maske ist, belichtet. Hierbei muß darauf geachtet werden, daß in der zur Belichtung verwendeten Maske etwa vorhandene Defektlöcher nicht an denselben Stellen wie bei der zu reparierenden Maske auftreten.

5 Weitere Fehler, die durch Defektstellen in der zur Reparatur verwendeten Maske bedingt sind, können dadurch ausgeschaltet werden, daß die Photoresistschicht auf der zu reparierenden Maske noch einmal durch eine strukturgleiche Maske belichtet wird, wobei wiederum

10 die Defektlöcher dieser Maske nicht mit den Defektlöchern in der zuvor benutzten Maske und der zu reparierenden Maske zusammenfallen dürfen. Dieses Verfahren hat den Nachteil, daß der auf der zu reparierenden Maske verbleibende Photoresist bei der späteren Belichtung der Maske zu Aufladungen führen kann, was unerwünscht ist. Außerdem ist die Anwendung dieses Reparaturverfahrens nur dann sinnvoll, wenn eine Inspektion der zu reparierenden Maske ergibt, daß viele Defektlöcher zu schließen sind. Wenn, als Folge sehr guter Reinraumbedingungen, eine visuelle Inspektion der Masken ergibt, daß nur wenige Defektlöcher zu schließen sind, ist ein Verfahren vorteilhafter, mit dem einzelne Defektlöcher repariert werden können.

15

20

25 Aufgabe der Erfindung ist daher, ein Verfahren zur Reparatur einzelner Defektlöcher in Transmissionsmasken anzugeben, das, weil in bereits vorhandenen Apparaturen durchführbar, sehr kostengünstig ist.

30 Die Aufgabe der Erfindung wird gelöst durch ein Verfahren gemäß Patentanspruch 1.

Vorteilhafte Ausführungsformen der Erfindung sind in den Unteransprüchen niedergelegt.

Bei dem erfindungsgemäßen Reparaturverfahren wird ausgenutzt, daß bei Bestrahlung einer im Vakuum befindlichen Fläche eines Rasterelektronenmikroskops mit einem Elektronenstrahl im Auftreffpunkt des Strahls eine Kohlenwasserstoff-Polymerisatschicht aufwächst. Dieser Effekt ist Elektronenmikroskopikern seit vielen Jahren bekannt und wird als Kontamination bezeichnet. Es wurde auch der Mechanismus der Elektronenstrahlpolymerisation von Kohlenwasserstoffmolekülen, welche am Substrat adsorbiert sind, untersucht und festgestellt, daß das Wachsen der adsorbierten Schicht aus der Dampfphase erfolgte und daß wesentliche Quellen für die Kohlenwasserstoffmoleküle Diffusionspumpenöl, Gummidichtungen oder fettige Oberflächen waren. R.F.W. Pease und W.C. Nixon, in 1st Int. Conf. on Electron and Ion Beam Sci. and Tech. 1965, Seiten 220 bis 230, zeigten, daß sich im Weg eines Elektronenstrahls, wenn dieser auf eine Gitterkante fokussiert und langsam von ihr weggeführt wurde, ein selbsttragender Kontaminationsfaden bildete. Der aus der Elektronenmikroskopie bekannte Kontaminationseffekt, der dort als störend empfunden wird, wird erfindungsgemäß zur Reparatur von Transmissionsmasken eingesetzt. In der zuvor abgehandelten Literaturstelle ist diese Anwendung nicht beschrieben.

Die Erfindung wird anhand der speziellen Beschreibung und der Figuren 1 bis 6 näher erläutert.

Es stellen dar:

Fig. 1 einen Querschnitt durch eine Elektronenstrahl-Transmissionsmaske;

Fign. 2A ein Verfahren zur Herstellung einer
35 bis 2F Transmissionsmaske;

Fig. 3 ein zu schließendes Loch in einer Maske mit zwei geschriebenen Brücken;

5 Fig. 4A eine Maske mit einem Defektloch neben einer gewünschten Maskenöffnung;

Fig. 4B eine Vergrößerung des Defektlochs von Fig. 4A;

10 Fign. 5A und 5B ein Defektloch mit mehreren geschriebenen Brücken;

Fig. 6A entspricht Fig. 4A;

15 Fig. 6B ein repariertes Defektloch neben einer Maskenöffnung gemäß Fig. 6A.

Die in Fig. 1 gezeigte Elektronenstrahl-Transmissionsmaske besteht aus einer einkristallinen Bor-dotierten Siliciummembran von etwa 2 μm Dicke und einer Goldschicht auf ihrer Oberfläche, welche die strahlstoppenden Eigenschaften verbessert. Die Maske besitzt die Größe eines Siliciumwafers und enthält als feinste Strukturen Strukturen von 0,3 μm Breite. Der gleiche Maskentyp kann auch für Ionenstrahl- oder Röntgenstrahllithographie verwendet werden.

Anhand der Fign. 2A bis 2F wird ein Verfahren zur Herstellung einer Maske für die Elektronenstrahl-, Ionenstrahl- oder Röntgenstrahllithographie beschrieben, bei dem Fehlstellen in der Maske auftreten können, die nach dem erfindungsgemäßen Verfahren repariert werden. Als Maskensubstrat wird gemäß Fig. 2A ein 0,2 bis 0,4 mm dicker Siliciumwafer mit einer 100-Orientierung, der auf beiden Seiten poliert ist, verwendet. Die Rückseite

des Wafers ist mit einer 0,5 bis 1 μm dicken Siliciumdioxidschicht 2 bedeckt. Von der Vorderseite des Siliciumwafers wird Bor in das Substrat eindiffundiert bis zu einer Oberflächenkonzentration von wenigstens 10^{20} 5 Boratomen/ cm^3 (Schicht 3 in Fig. 2A). Die Bordiffusion dient als Ätzbarriere bei einem späteren Ätzen des Siliciumwafers und bestimmt dadurch die Maskenschichtdicke. Weiterhin bewirkt die Borkonzentration eine Zugspannung in der fertigen Maske, die ein Durchbiegen der 10 Maske verhindert, wenn diese in ihrem starren kalten Siliciumrahmen erwärmt wird. Im nächsten Prozeßschritt (Fig. 2B) werden mehrere Fenster 4 von Chipgröße auf der Rückseite durch konventionelle Photolithographie und Naßätzen hergestellt. Durch diese Fenster wird 15 später das Ätzen des Wafers vorgenommen. Auf die bor-dotierte Vorderseite des Wafers wird dann eine 0,4 bis 0,8 μm dicke Siliciumdioxidschicht 5 aufgesputtert. Die Dicke der Siliciumdioxidschicht hängt von dem Ätzratenverhältnis von Siliciumdioxid zu Silicium im reaktiven 20 Ionenätzprozeß zur Übertragung des Musters in das Silicium ab. In dem hier beschriebenen Verfahren wird eine Siliciumdioxidschichtdicke von 0,7 μm verwendet. Anschließend kann für Siliciumdioxidschichtdicken unter 0,5 μm auf die Siliciumdioxidschicht 5 eine einzige 25 Photoresistschicht in einer Schichtdicke von 0,2 bis 0,5 μm aufgetragen werden (nicht dargestellt). In Fig. 2B ist der für größere Siliciumdioxidschichtdicken angewendete Dreilagen-Resistprozeß schematisch dargestellt. Dabei wird auf die Siliciumdioxidschicht 5 eine 30 dicke Photoresistschicht 6 in einer Schichtdicke von 1 bis 2 μm , vorzugsweise von 1,6 μm aufgesponnen. Als Photoresist wurde ein Positiv-Photoresist AZ 1350J der Firma Shipley, welcher aus einem Phenol-Formaldehyd-Harz und 3,4-Dihydroxybenzophenon-4-[naphthochinon-(1,2)diazid(2)]-sulfonat als reaktivem Bestandteil 35

besteht, aufgesponnen. Der Resist wird dann bei etwa 210°C 30 Minuten lang gehärtet. Auf die dicke Photoresistschicht 6 wird eine etwa 0,1 bis 0,2 µm dicke Siliciumnitridschicht 7 durch Plasmaabscheidung aufgetragen. Diese wiederum wird mit einer 0,3 bis 0,5 µm dicken hochempfindlichen Resistenschicht 8 bedeckt. Durch Belichten und Entwickeln wird in dieser Resistenschicht das gewünschte Maskenmuster erzeugt. Für Muster mit Dimensionen im Submikrometerbereich wird diese Belichtung mit einem Elektronenstrahlschreiber (vector scan) durchgeführt. Um eine vertikale Resistmaske zu erhalten, werden die entwickelten Strukturen (9a bis 9c) der Schicht 8 durch reaktives Ionenätzen mit CF_4 bei einem Fluß von etwa 30 $cm^3/Min.$, einem Druck von 67 µbar und einer Energiedichte von 0,2 Watt/ cm^2 in die Siliciumnitridschicht 7 übertragen. Die strukturierte Siliciumnitridschicht 7 ist eine ausgezeichnete Maske für das reaktive Ionenätzen der dicken Resistenschicht 6 in einer Sauerstoffatmosphäre und bewirkt gleichzeitig eine Verbesserung der Haftung des hochempfindlichen Resist 8 auf der Oberfläche. Das Muster in der Siliciumnitridschicht 7 wird in die darunterliegende Photoresistenschicht 6 übertragen durch reaktives Ionenätzen mit Sauerstoff bei einem Fluß von etwa 27 $cm^3/Min.$, einem Druck von 2,6 µbar und einer Energiedichte von 0,2 Watt/ cm^2 . Die unterste Photoresistenschicht 6 des Dreilagen-Prozesses dient als Maske zum Ätzen der Siliciumdioxidschicht 5 (Fig. 2C). Das reaktive Ionenätzen erfolgt in einem Reaktor mit Dioden, wobei die Wafer auf einer an Betriebsspannung angelegten Elektrode angeordnet sind. Die Strukturierung der Siliciumdioxidschicht erfolgt durch reaktives Ionenätzen mit CF_4 bei einem Fluß von 30 $cm^3/Min.$, einem Druck von 67 µbar und einer Energiedichte von 0,15 Watt/ cm^2 . Nach dem Strippen des restlichen Resist 6 wird die strukturierte Siliciumdioxid-

schicht 5 (Fig. 2D) in einem zweiten reaktiven Ionenätzprozeß als Maske verwendet, um ein Muster 10 von etwa 2 bis 4 μm Tiefe in das bordotierte Silicium 3 zu ätzen. In diesem Verfahrensschritt wird ein SF_6 ,
5 Cl_2 und Helium-Gemisch mit 5,3 Vol.% Cl_2 , 2,6 Vol.% SF_6 , Rest Helium mit einem Fluß von $40 \text{ cm}^3/\text{Min.}$, einem Druck von 53 μbar und einer Energiedichte von etwa 0,2 Watt/ cm^2 verwendet. Es werden hierbei Ätzratenverhältnisse zwischen Siliciumdioxid und Silicium von 1:5
10 bis etwa 1:20, vorzugsweise von 1:14, erhalten. Durch das streng gerichtete Ätzen werden nahezu vertikale Siliciumseitenwände (Fig. 2D) erhalten. Zum Ätzen von Silicium sind auch andere Gase, beispielsweise Gasmischungen mit einem Gehalt an Chlor und Argon oder
15 CCl_2F_2 und O_2 oder SiF_4 , Cl_2 , Helium oder Argon geeignet.

Schließlich wird das Wafersubstrat durch die Öffnungen 4 in der Siliciumdioxidschicht 2 auf der Rückseite des Wafers in einem Naßätzprozeß gerichtet geätzt. Die Ätzlösung besteht aus Äthylendiamin, Brenzkatechin, Pyrazin und Wasser. Das Ätzen hört auf bei einer Borkonzentration von 7×10^{19} Boratomen/ cm^3 . Die resultierende Maske aus der einkristallinen, bordotierten Membran ist etwa 2 μm dick, in Abhängigkeit von der angewendeten Borddiffusion. Nach dem Entfernen der restlichen Siliciumdioxidschichten 2 wird die strukturierte Siliciummembran mit einer 0,2 bis 0,8 μm dicken Goldschicht 12 (Fig. 2F) belegt. Diese ist erforderlich, um einen
25 Elektronenstrahl bis zu Energien von etwa 25 keV abzubremsen. Die Goldschicht kann entweder durch Aufdampfen oder Aufsputtern aufgebracht werden. Wenn Gold aufgesputtert wird, nehmen die Dimensionen der Maske geringfügig ab.
30

Nachfolgend wird, ebenfalls anhand der Fign. 2B bis 2F, sowie der Fign. 3 bis 6 das erfindungsgemäße Reparaturverfahren beschrieben. Wird bei der Inspektion einer Transmissionsmaske ein unerwünschtes Loch festgestellt, 5 so ist dies darauf zurückzuführen, daß in der obersten Photoresistschicht 8 (Fig. 2B) neben erwünschten Maskenöffnungen 9a auch ausgefranste Maskenöffnungen 9b und, beispielsweise durch Staub, unerwünschte Maskenöffnungen 9c gebildet werden können. Die unerwünschten 10 Öffnungen täuschen erwünschte vor und werden während des Herstellungsprozesses für die Transmissionsmasken ebenfalls in die darunterliegenden Schichten eingeätzt, so daß die wahre Maskenstruktur verfälscht wird. Auch durch optimale Reinraumbedingungen kann das Auftreten 15 dieser zusätzlichen Löcher nie ganz verhindert werden. Es war deshalb dringend erforderlich, ein Verfahren zur Reparatur von Transmissionsmasken zu entwickeln.

Wird bei der Inspektion einer Transmissionsmaske (Fig. 2D) ein unerwünschtes Loch 9c oder ein ausgefranstes 20 Loch 9b festgestellt, dann muß dieses geschlossen bzw. das ausgefranste Loch korrigiert werden. Hierzu wird die Transmissionsmaske in ein normales handelsübliches Elektronenrastermikroskop anstelle einer Probe eingebracht. Die zu reparierende Maske kann dann wie eine 25 normale Probe im Elektronenrastermikroskop betrachtet werden, was von Vorteil ist, weil für die Maskenreparatur nicht zusätzlich ein kompliziertes teures Gerät entwickelt oder angeschafft werden muß. Im Elektronenrastermikroskop herrscht ein Vakuum, das keineswegs 30 als rein bezeichnet werden kann und einen Gesamtdruck im Bereich von etwa 0,133 bis 0,0133 μ bar aufweist. Bei dem erfindungsgemäßen Reparaturverfahren wird ausgenutzt, daß die im Vakuum befindlichen Kohlenwasserstoffmoleküle, die aus dem Diffusionspumpenöl stammen, 35

unter Einwirkung des Elektronenstrahls polymerisieren. Richtet man nämlich einen fein fokussierten Elektronenstrahl oder Ionenstrahl auf den Rand einer zu schließenden oder korrigierenden Maskenöffnung und läßt ihn 5 langsam über die unerwünschte Maskenöffnung wandern, dann bildet sich ein selbsttragender Kontaminationsfaden, der dem Weg des Elektronenstrahls folgt. Schreibt man mehrere solcher Kontaminationsfäden 10 (Fig. 2E und Fig. 3) nebeneinander, so ist es möglich, das unerwünschte Maskenloch zu schließen. Es wurde festgestellt, daß sehr gute Ergebnisse mit den Kohlenwasserstoffmolekülen, die als Restgase in einem normalen Mikroskopvakuum vorhanden sind, erzielt werden können. Es können jedoch auch andere Monomermoleküle, beispielsweise 15 Butadien, Acetylen oder Acrylnitril dem Vakuum zugeführt und unter Einwirkung eines Elektronenstrahls zur Polymerisation gebracht werden.

In einem speziellen Ausführungsbeispiel wird eine zu 20 reparierende Maske in ein Elektronenrastermikroskop eingebracht und der Elektronenstrahl direkt neben das zu reparierende Loch auf der Maskenoberfläche fokussiert. Wesentlich ist, daß der Strahldurchmesser sehr gering ist, damit sein Verhältnis zur umgebenden Oberfläche sehr klein ist. Es wurde mit Elektronenstrahldurchmessern im Bereich von 10 bis 100 nm gearbeitet. 25 Im Elektronenrastermikroskop wurde eine Vergrößerung von 5000 bis 20 000 und eine sehr langsame Schreibgeschwindigkeit von etwa 1 bis 50 $\mu\text{m}/\text{Min}$. bei einem Vakuum im Bereich von etwa 0,0133 μbar gewählt. Die 30 langsame Führung des Elektronenstrahls ist notwendig, damit genügend Moleküle zum Aufbau der Fäden nachdifferenzieren können.

Fig. 3 zeigt ein zu schließendes Loch mit zwei Stegen. In Fig. 4A ist ein zu schließendes Loch neben einer gewünschten Maskenöffnung und in Fig. 4B das zu schließende Loch bei 10facher Vergrößerung dargestellt. In 5 den Fign. 5A und B sind bereits mehrere Kontaminationsfäden über das zu schließende Loch gelegt. Fig. 6A entspricht Fig. 4A und zeigt noch einmal den Ausgangszustand, während in Fig. 6B nur noch die erwünschte Maskenöffnung zu sehen ist und die unerwünschte geschlossen ist. 10

Die Reparatur einer unerwünschten Maskenöffnung kann außer in dem Elektronenrastermikroskop auch mit einem Elektronenstrahlschreiber (vector scan) erfolgen. Hier 15 werden entweder über das Loch Kontaminationsfäden geschrieben, oder der Elektronenstrahl wird am Lochrand entlang geführt und so ein Zuwachsen des Lochs erreicht. Dieses Verfahren hat den Vorteil, daß vor der Reparatur eine Inspektion der Maske im gleichen Gerät 20 vorgenommen werden kann. Die Inspektion der Maske geschieht durch einen Vergleich des vom Elektronenstrahl gefundenen Maskenlochs mit den im Computer vorhandenen Daten der Maskenstruktur. Wird auf diese Weise festgestellt, daß es sich um ein unerwünschtes Maskenloch 25 handelt, dann kann die Maske, ohne daß sie aus dem Gerät entnommen werden muß, an der entsprechenden Stelle gezielt repariert werden. Hierbei wird in einem vergleichbaren Vakuum wie im Elektronenrastermikroskop und mit einem Elektronenstrahl mit einem Durchmesser von 10 30 bis 100 nm gearbeitet.

Sollten bei beiden Verfahren die aus dem Diffusionspumppenöl stammenden Kohlenwasserstoffmoleküle für die Maskenreparatur nicht ausreichen, dann kann in der Nähe 35 des Maskenhalters zusätzlich ein Tropfen Öl angeordnet

werden, oder es kann in der Umgebung der Maske eine ölhaltige Atmosphäre dadurch erzeugt werden, daß Monomer-
moleküle über ein Nadelventil oder ein Kapillarröhrchen
zugeführt werden. Außer den Kohlenwasserstoffmonomeren
5 können auch, wie zuvor bereits ausgeführt, andere Mono-
mermoleküle zugeführt werden.

Die schematische Darstellung gemäß Fig. 2E zeigt Fäden
10 aus Polymermaterial, die über ein ausgefranstes Mas-
kenloch 9b bzw. über eine unerwünschte Maskenöffnung
9c geschrieben wurden. Das unerwünschte Maskenloch 9c
wird, nachdem es auf der Oberseite verschlossen wurde,
von der Rückseite her mit einem leitenden Material 11,
15 beispielweise einem Metall, ausgefüllt. Hierzu kann
Gold verwendet werden, welches anschließend, wie aus
Fig. 2F ersichtlich ist, auch auf die Vorder- und Rück-
seite der reparierten Siliciummaske zu einer Schicht
12 aufgesputtert oder aufgedampft wird. Die Kontamina-
tionsfäden 10, welche zur Reparatur der fehlerhaften
20 Maske verwendet wurden, können vor dem Aufdampfen der
Goldschicht 12 von der Maske entfernt werden.

P A T E N T A N S P R Ü C H E

1. Verfahren zur Reparatur von Transmissionsmasken, dadurch gekennzeichnet,
daß man in einem Vakuumsystem einen fein fokussierten Elektronenstrahl zeilenweise über eine unerwünschte Maskenöffnung oder am Rand der Maskenöffnung entlang führt, um die Öffnung durch die dem Strahl folgenden Kontaminationsstreifen 5 vollständig zu schließen oder um die Form der Maskenöffnung zu korrigieren.
- 10 2. Verfahren nach Anspruch 1, dadurch gekennzeichnet, daß die Maskenreparatur in einem Elektronenrastermikroskop oder mit einem Elektronenstrahlschreiber (vector scan) durchgeführt wird.
- 15 3. Verfahren nach den Ansprüchen 1 und 2, dadurch gekennzeichnet, daß die Maskenreparatur in einem Vakuum im Bereich von 0,133 bis 0,0133 µbar durchgeführt wird.
- 20 4. Verfahren nach den Ansprüchen 1 und 2, dadurch gekennzeichnet, daß die Maskenreparatur mit einem Elektronenstrahl mit einem Strahldurchmesser im Bereich von 10 bis 25 100 nm durchgeführt wird.
- 25 5. Verfahren nach den Ansprüchen 1 bis 4, dadurch gekennzeichnet, daß man den Elektronenstrahl mit einer Schreibgeschwindigkeit von 1 bis 50 µm/Min. über die unerwünschte Maskenöffnung führt.

6. Verfahren nach den Ansprüchen 1 bis 5,
dadurch gekennzeichnet,
daß man in der Umgebung der Maske eine Monomer-
molekülhaltige Atmosphäre erzeugt.
5
7. Verfahren nach Anspruch 6,
dadurch gekennzeichnet,
daß Monomere aus der Gruppe von Kohlenwasserstoff-
molekülen, Butadien, Acetylen oder Acrylnitril
10 eingesetzt werden.
8. Verfahren nach den Ansprüchen 6 und 7,
dadurch gekennzeichnet,
daß die Monomermoleküle über ein Nadelventil oder
15 ein Kapillarröhrchen in der Umgebung der Maske zu-
dosiert werden oder in Form eines Tropfens auf den
Maskenrand zugegeben werden.
9. Verfahren nach Anspruch 6,
20 dadurch gekennzeichnet,
daß Kohlenwasserstoffmoleküle, die aus dem Diffu-
sionspumpenöl stammen und im Restvakuum vorhanden
sind, durch den Elektronenstrahl polymerisiert
werden.
25
10. Verfahren nach den Ansprüchen 1 bis 9,
dadurch gekennzeichnet,
daß die reparierte Maskenöffnung von der Rückseite
der Maske her mit einem leitenden Material aufge-
30 füllt, das mit dem Elektronenstrahl aufgetragene
Polymergerüst entfernt und auf Vorder- und Rück-
seite der Maske eine Goldschicht aufgedampft oder
aufgesputtert wird.

0168510

1 / 5

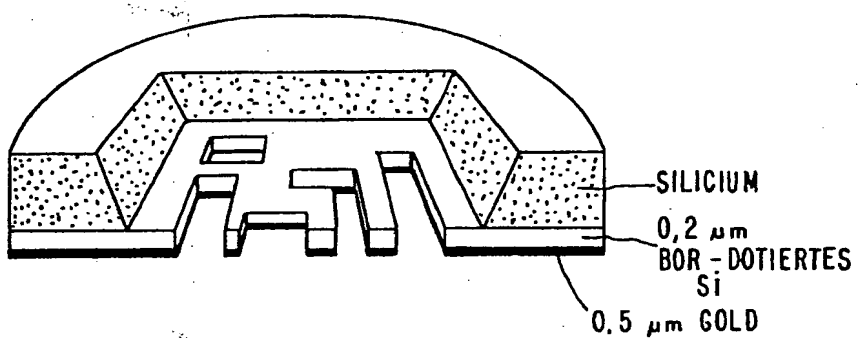


FIG. 1

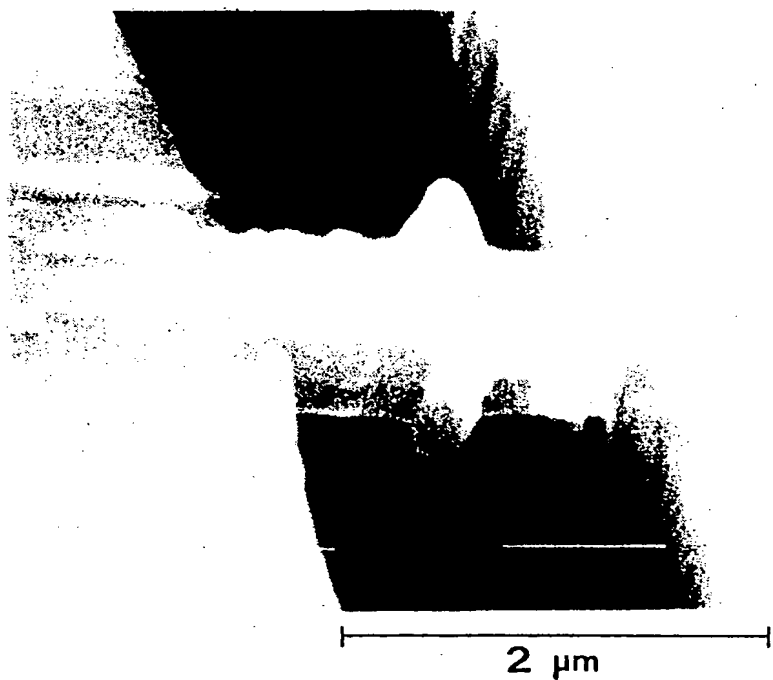


FIG. 3

FIG. 2A

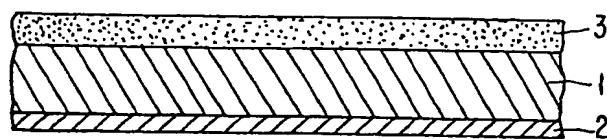


FIG. 2B

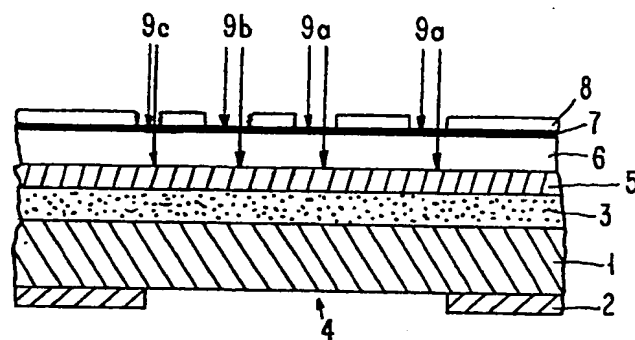


FIG. 2C

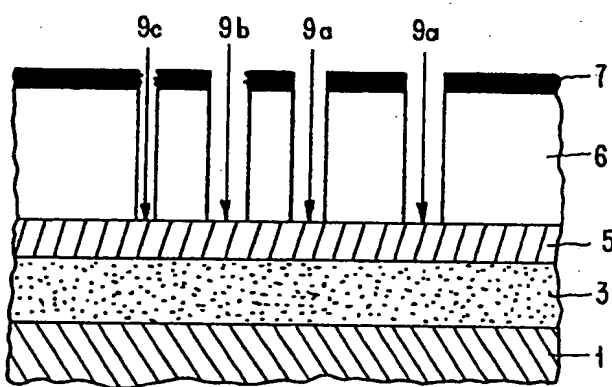


FIG. 2D

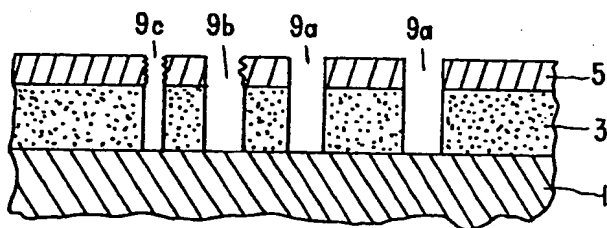


FIG. 2E

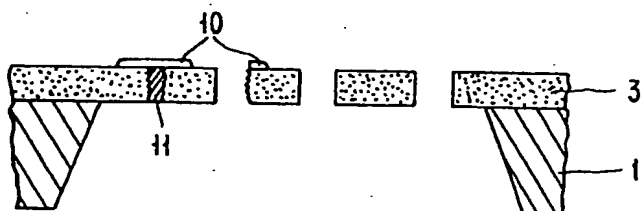
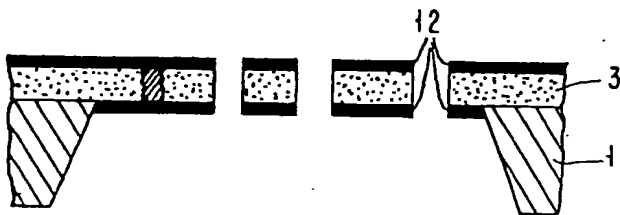


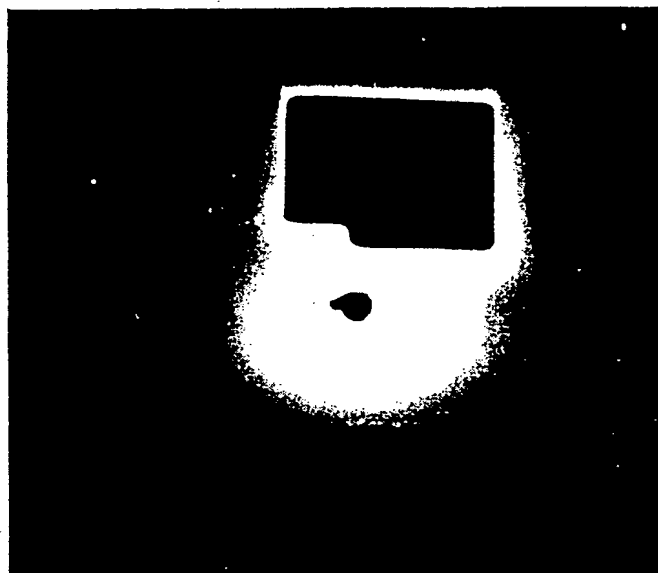
FIG. 2F



0168510

3 / 5

FIG. 4A



10 μm

FIG. 4 B



1 μm

0168510

4 / 5



FIG. 5 A

5 μ m



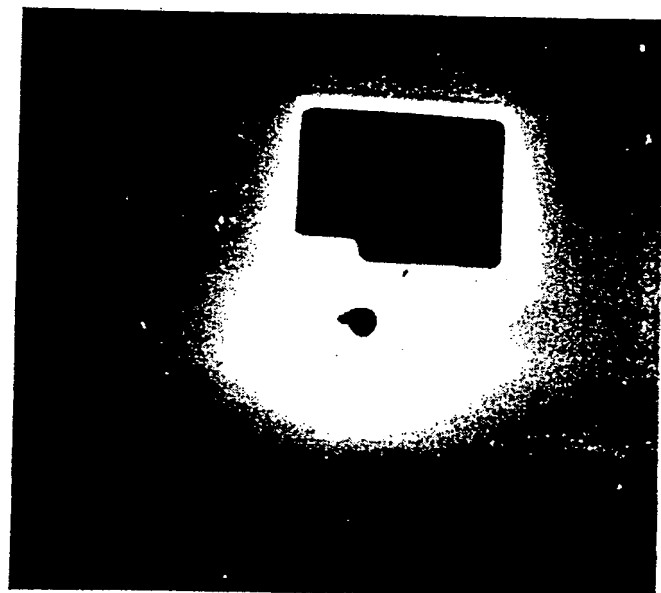
FIG. 5 B

2 μ m

0168510

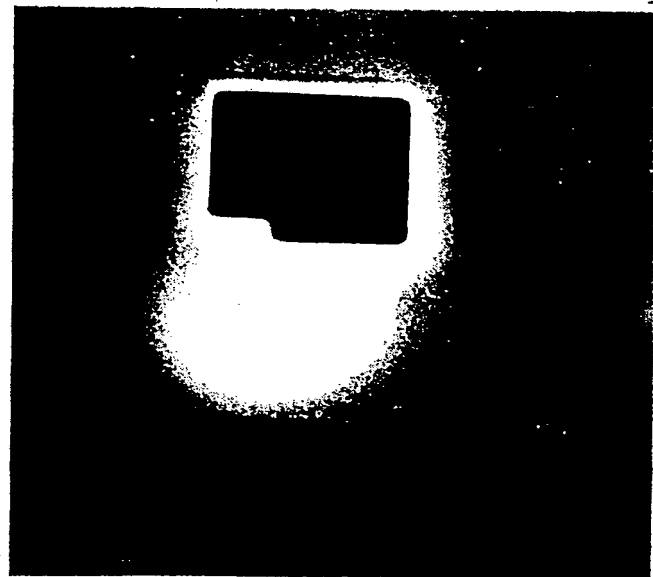
5 / 5

FIG. 6A



10 μm

FIG. 6 B



10 μm



Europäisches
Patentamt

EUROPÄISCHER RECHERCHENBERICHT

0168510

Nummer der Anmeldung

EP 84 10 8325

EINSCHLÄGIGE DOKUMENTE

Kategorie	Kennzeichnung des Dokuments mit Angabe, soweit erforderlich, der maßgeblichen Teile	Betritt Anspruch	KLASSIFIKATION DER ANMELDUNG (Int. Cl.4)		
A	APPLIED PHYSICS LETTERS, Band 29, Nr. 9, 1. November 1976, Seiten 596-598, American Institute of Physics, US; A.N. BROERS u.a.: "Electron-beam fabrication of 80-A metal structures" * Insgesamt *	1	G 03 F 1/00		
<hr/>					
RECHERCHIERTE SACHGEBIETE (Int. Cl.4)					
G 03 F 1/00					
<hr/>					
<hr/>					
Der vorliegende Recherchenbericht wurde für alle Patentansprüche erstellt.					
Recherchenort DEN HAAG	Abschlußdatum der Recherche 19-03-1985	Prüfer RASSCHAERT A.			
<hr/>					
KATEGORIE DER GENANNTEN DOKUMENTEN					
X : von besonderer Bedeutung allein betrachtet	E : älteres Patentdokument, das jedoch erst am oder nach dem Anmelde datum veröffentlicht worden ist				
Y : von besonderer Bedeutung in Verbindung mit einer anderen Veröffentlichung derselben Kategorie	D : in der Anmeldung angeführtes Dokument				
A : technologischer Hintergrund	L : aus andern Gründen angeführtes Dokument				
O : nichtschriftliche Offenbarung					
P : Zwischenliteratur	& : Mitglied der gleichen Patentfamilie, übereinstimmendes Dokument				
T : der Erfindung zugrunde liegende Theorien oder Grundsätze					

THIS PAGE BLANK (USPTO)

Docket # MJW-1T-439

Applic. # (0) 6(4) 429

Applicant: Christof Schick, et al.

Lerner and Greenberg, P.A.
Post Office Box 2480
Hollywood, FL 33022-2480
Tel: (954) 925-1100 Fax: (354) 925-1101

Process to repair transmission masks

Patent number: EP0168510
Publication date: 1986-01-22
Inventor: BEHRINGER U DR DIPL-PHYS; BOHLEN H DIPL-PHYS; VETTIGER P DIPL-ING; ZAPKA W DR DIPL-PHYS
Applicant: IBM DEUTSCHLAND (DE); IBM (US)
Classification:
- **international:** G03F1/00
- **european:** G03F1/00Z
Application number: EP19840108325 19840716
Priority number(s): EP19840108325 19840716

Also published as:JP61032426 (A)
EP0168510 (B)**Abstract of EP0168510**

1. Method of repairing transmission masks using contamination polymerisation, characterized in that in a vacuum system a precisely focused electron beam is moved line by line over an undesired mask opening or along the edge of the mask opening in order to close the opening completely by the contamination filament following the beam, or to correct the form of the mask opening, and in that the repaired mask opening is replenished from the mask back with a conductive material, that the polymeric structure applied with the electron beam is removed, and a gold layer is vapor deposited or sputtered onto the front and back of the mask.

Data supplied from the **esp@cenet** database - Worldwide

THIS PAGE BLANK (USPTO)

Docket # M&N-IT-439

Applic. # 10/614,429

Applicant: Schilz et al.

Lerner and Greenberg, P.A.
Post Office Box 2480
Hollywood, FL 33022-2480
Tel: (954) 925-1100 Fax: (954) 925-1101

**This Page is Inserted by IFW Indexing and Scanning
Operations and is not part of the Official Record**

BEST AVAILABLE IMAGES

Defective images within this document are accurate representations of the original documents submitted by the applicant.

Defects in the images include but are not limited to the items checked:

- BLACK BORDERS**
- IMAGE CUT OFF AT TOP, BOTTOM OR SIDES**
- FADED TEXT OR DRAWING**
- BLURRED OR ILLEGIBLE TEXT OR DRAWING**
- SKEWED/SLANTED IMAGES**
- COLOR OR BLACK AND WHITE PHOTOGRAPHS**
- GRAY SCALE DOCUMENTS**
- LINES OR MARKS ON ORIGINAL DOCUMENT**
- REFERENCE(S) OR EXHIBIT(S) SUBMITTED ARE POOR QUALITY**
- OTHER:** _____

IMAGES ARE BEST AVAILABLE COPY.

As rescanning these documents will not correct the image problems checked, please do not report these problems to the IFW Image Problem Mailbox.

THIS PAGE BLANK (USPTO)